

Evaluation of AquaCrop Model to Simulate Canola (*Brassica napus*) Yield under Deficit Irrigation Scenarios in Qazvin Plain

NIAZ ALI EBRAHIMIPAK^{1*}, ASLAN EGDERNEZHAD², ARASH TAFTEH DAVOUD

KHODADADI DEHKORDI³

1. Associated professor, Department of irrigation and soil physics, Soil and Water Research Institute, Agricultural Research, Education and Extension Organization (AREEO), Karaj, Iran

2. Assistant Professor, Department of Water Sciences and Engineering, Ahvaz Branch, Islamic Azad University, Ahvaz, Iran

3. Assistant professor, Department of irrigation and soil physics, Soil and Water Research Institute, Agricultural Research, Education and Extension Organization (AREEO), Karaj, Iran

4. Assistant Professor, Department of Water Sciences and Engineering, Ahvaz Branch, Islamic Azad University, Ahvaz, Iran

ABSTRACT

This study was conducted in Qazvin plain (with latitude 50° 8' and longitude 36° 8' and elevation 1240 m) during 2010-2012 to evaluate AquaCrop model for simulation of canola yield. The results showed that this model is very sensitive to transpiration crop coefficient and low to medium sensitive to other input parameters. Normalized root mean square errors (NRMSE) were 0.10, 0.04, 0.11 and 0.04 for yield, biomass, water use efficiency and harvest index, respectively. The values of agreement index (d) for the all parameters were greater than 0.98. Although, AquaCrop model tended to overestimate outputs; however, the simulation results could be acceptable.

Keyword: Biomass, Water Use Efficiency, Crop Model, Irrigation Scheduling

*Corresponding Author's Email: Email: nebrahimipak@yahoo.com

بررسی کارایی مدل AquaCrop در شبیه‌سازی عملکرد گیاه کلزا تحت سناریوهای کم‌آبیاری در دشت قزوین

نیازعلی ابراهیمی پاک^{۱*}، اصلاح اگدرنژاد^۲، آرش تافته^۳، داود خدادادی دهکردی^۴

۱. دانشیار، بخش آبیاری و فیزیک خاک، موسسه تحقیقات خاک و آب، سازمان تحقیقات، آموزش و ترویج کشاورزی، کرج، ایران

۲. استادیار، گروه علوم و مهندسی آب، واحد اهواز، دانشگاه آزاد اسلامی، اهواز، ایران.

۳. ستادیار، بخش آبیاری و فیزیک خاک، موسسه تحقیقات خاک و آب، سازمان تحقیقات، آموزش و ترویج کشاورزی، کرج، ایران

۴. ستادیار، گروه علوم و مهندسی آب، واحد اهواز، دانشگاه آزاد اسلامی، اهواز، ایران.

(تاریخ دریافت: ۱۳۹۶/۰۳/۳۱ - تاریخ بازنگری: ۱۳۹۶/۱۰/۰۲ - تاریخ تصویب: ۱۳۹۶/۱۲/۱۶)

چکیده

این پژوهش به منظور شبیه‌سازی عملکرد گیاه کلزا با استفاده از مدل رشد گیاهی AquaCrop در ایستگاه تحقیقاتی اسماعیل‌آباد قزوین واقع در $50^{\circ} 50'$ شرقی و عرض جغرافیایی $36^{\circ} 8'$ شمالی و ارتفاع ۱۴۴۰ متر از سطح دریا در دو سال زراعی انجام شد. نتایج نشان داد که بیشترین حساسیت این مدل نسبت به تغییرات ضریب گیاهی برای تعرق بود و نسبت به سایر عوامل ورودی حساسیت متوسط و کم داشت. مقادیر جذر میانگین مربعات خطای نرمال شده (NRMSE) به دست آمده برای عملکرد، زیست‌توده، کارایی مصرف آب و شاخص برداشت به ترتیب برابر با 0.04 ، 0.04 و 0.04 بود. مقادیر آماره شاخص توافق (d) نیز برای کلیه عوامل بزرگتر از 0.98 به دست آمد. گرچه این مدل در برآورد عوامل مورد نظر برای اکثر تیمارها دچار خطای بیش‌برآورده شد؛ لیکن بر اساس این نتایج می‌توان دقت شبیه‌سازی آن را قابل قبول دانست.

واژه‌های کلیدی: برنامه‌ریزی آبیاری، زیست‌توده، کارایی مصرف آب، مدل گیاهی

صرف آب به شمار می‌رود (Debaek and Aboudrare, 2004; Fereres, E.M., and Soriano, 2007; Farre and Fasi, 2009; Blum, 2009). تولید این محصول در شرایط کمبود آب و وابسته بودن آن به شرایط کاشت، نیاز به آگاهی از وضعیت این گیاه به شرایط مختلف را اجتناب‌ناپذیر می‌سازد. انجام این شرایط مستلزم انجام آزمایش‌های بسیار بوده که کاری پر حزمت و هزینه‌بر است. برای رفع این مشکل، نیاز است تا از مدل‌های رشد گیاهی به منظور رفع محدودیت‌های زمانی و هزینه‌ای استفاده شود (Van Dam *et al.*, 1997; Boogaard *et al.*, 1998; Gert and Raes, 2009; Raes *et al.*, 2012). مدل رشد گیاهی AquaCrop یکی از مدل‌های رشد گیاهی توسعه‌یافته توسط سازمان خوار و بار جهانی (فائق) است که به دلیل سادگی، داده‌های ورودی کم، کاربرپسند بودن و دقت بالا (Heng *et al.*, 2009; Todorovic *et al.*, 2009; Raes *et al.*, 2012) مورد توجه بسیاری از محققان و کاربران قرار گرفته و از آن به منظور شبیه‌سازی بسیاری از محصولات کشاورزی از جمله جو (Arraya *et al.*, 2010)، ذرت و چغندر (Alizadeh *et al.*, 2011)، گندم (Stricevic *et al.*, 2011)، ذرت (Heng *et al.*, 2009; Hisao *et al.*, 2009; Masanganise *et al.*, 2013; Katerji *et al.*, 2013; Hasanli *et*

مقدمه

نیاز روزافزون جمعیت دنیا به مواد غذایی از جمله روغن‌های گیاهی سبب شده تا کشت گیاهان دانه‌های روغنی برای پاسخ به این نیاز افزایش یابد (Rasooli *et al.*, 2016). از جمله گیاهان دانه‌های روغنی، گیاه کلزا (*Brassica napus*) می‌باشد که با دارا بودن اسیدهای چرب غیراشبع و پروتئین به عنوان یکی از روغن‌های خوراکی سالم، سهم چشم‌گیری در بازار روغن داشته است (Reddy and Reddi, 2003). این گیاه به دلیل سازگاری با اقلیم‌های مختلف در بسیاری از نقاط کشور کشت می‌شود (Zomorodian *et al.*, 2010). رژیم آبیاری آن نیز بر اساس نوع منطقه مورد کشت متفاوت است (Mousavizadeh *et al.*, 2016). اقلیم خشک و نیمه‌خشک ایران و بالا بودن مصرف آب در بخش کشاورزی (Ziaii *et al.*, 2014) سبب شده است تا سناریوهای مختلف کم‌آبیاری برای گیاهان مختلف ارائه شود. کم‌آبیاری گرچه سبب کاهش عملکرد محصولات کشاورزی می‌شود، لیکن یکی از راه‌کارهای اساسی در بالا بردن بهره‌وری

برداشت این گیاه انجام شد.

مواد و روش‌ها

این تحقیق در ایستگاه تحقیقات کشاورزی اسماعیل آباد قزوین واقع در طول جغرافیایی $50^{\circ} 0' 50''$ شرقی و عرض جغرافیایی $36^{\circ} 8' 90''$ شمالی و ارتفاع ۱۲۴۰ متر از سطح دریا در طی دو سال زراعی (۹۰-۹۱ و ۸۹-۹۰) انجام شد. این منطقه از نظر طبقه‌بندی روش دومارتن جز مناطق نیمه‌خشک سرد محسوب می‌شود. در جدول (۱) میانگین برخی از عوامل هواشناسی در این منطقه نشان داده شده است. تیمارهای مورد استفاده در این تحقیق با تقسیم دوره رشد کلزا به شش دوره جوانه‌زنی، رشد اولیه، ساقمه‌دهی، گلدهی، غلافبندی و رسیدگی کامل به صورت زیر در نظر گرفته شدند: T1: آبیاری کامل (۱۰۰ درصد)، T2: آبیاری در دوره ساقمه‌دهی (عدم آبیاری یا صفر درصد) و T3: آبیاری در دوره گلدهی (۳۵ درصد FI)، T4: آبیاری در دوره گلدهی (۳۵ درصد FI)، دوره غلافبندی (۱۰ درصد FI) و رسیدگی کامل (عدم آبیاری یا صفر درصد FI)، T5: آبیاری در دوره غلافبندی (عدم آبیاری یا صفر درصد FI)، T6: آبیاری در دوره گلدهی (۷۰ درصد FI) و رسیدگی کامل (عدم آبیاری یا صفر درصد FI)، T7: آبیاری در دوره غلافبندی (۷۰ درصد FI) و درصد اولیه (۵۰ درصد FI)، T8: آبیاری در دوره رشد رسیدگی کامل (۷۰ درصد FI)، T9: آبیاری در دوره رشد اولیه (۵۰ درصد FI)، T10: آبیاری در دوره جوانه‌زنی (۶۰ درصد FI)، T11: آبیاری در دوره جوانه‌زنی (۷۰ درصد FI) و رسیدگی کامل (۶۰ درصد FI)، T12: آبیاری در دوره جوانه‌زنی (۷۰ درصد FI)، T13: آبیاری در دوره جوانه‌زنی (۶۰ درصد FI) و رشد اولیه (۶۰ درصد FI)، T14: آبیاری در دوره جوانه‌زنی (۶۰ درصد FI) و رسیدگی کامل (۸۰ درصد FI). بدین منظور کرت‌هایی با مساحت ۲۴ مترمربع (طول ۶ و عرض ۴ متر) برای هر تیمار در نظر گرفته شد. پیش از آزمایش از خاک مزرعه در دو عمق ۰-۵۰ و ۵۰-۱۰۰ سانتی‌متر و آب آبیاری نمونه‌برداری انجام شد. خصوصیات فیزیکی و شیمیایی خاک و آب آبیاری به ترتیب در

و آفتگردان (Heidarinia *et al.*, 2012) استفاده شده است. Abedinpour *et al.*, (2012) در ارزیابی مدل رشد گیاهی AquaCrop در تخمین زیستتوده، عملکرد دانه و بهرهوری آب برای گیاه ذرت نشان دادند که این مدل به خوبی توانست شاخص‌های ذکر شده را برآورد نماید و مدل رشد گیاهی AquaCrop بر اساس واکنش گیاهان به میزان آب قابل دسترس و شرایط مختلف آبیاری بسط داده شد (Ahmadi *et al.*, 2015). به همین دلیل مدل رشد گیاهی AquaCrop کارایی خوبی برای شبیه‌سازی عملکرد گیاهان در شرایط کم‌آبیاری دارد و لذا مطالعات گسترشده‌ای در خصوص کاربرد این مدل در سطوح مختلف کاربرد آب آبیاری توسط (Khoshravesh *et al.*, 2013; Araya *et al.*, 2010; Farahani *et al.*, 2009 Andarzian *et al.*, 2011; Paradas *et al.*, 2011; Ahmadi *et al.*, 2015 Garcia-Vila *et al.*, 2009; Heng *et al.*, 2009) استراتژی‌های گوناگون کم‌آبیاری و مدیریت آبیاری در مزرعه (Shudeh است. از جمله این تحقیقات، Arvaneh *et al.*, (2011) با استفاده از داده‌های به دست آمده از یک مزرعه کلزا در دهلران به واسنجی و صحت‌سنجی مدل رشد گیاهی AquaCrop پرداختند. نتایج نشان داد که نتایج حاصل از این مدل مطابقت خوبی با داده‌های واقعی داشت و می‌توان از آن برای شبیه‌سازی کارایی مصرف آب و عملکرد کلزا استفاده کرد. Zeleke *et al.*, (2011) با استفاده از مدل AquaCrop به شبیه‌سازی عملکرد و زیستتوده کلزا پرداختند و نشان دادند که این مدل نتایج رضایت‌بخشی در شبیه‌سازی عوامل مورد نظر در شرایط تنفس شدید آبی نداشت و نتایج آزمایش Mousavizadeh *et al.*, (2016) در ارزیابی مدل رشد گیاهی AquaCrop در شبیه‌سازی عملکرد کلزا تحت شرایط مختلف آبیاری نشان داد که این مدل توانایی قابل قبولی برای شبیه‌سازی عملکرد و زیستتوده کلزا در شرایط مختلف آبیاری داشت ولی نتایج حاصل از آن در شرایط دیم قابل قبول نبود.

بررسی منابع پژوهش‌های قبلی نشان داد که هرچند که مدل رشد گیاهی AquaCrop در شبیه‌سازی بسیاری از گیاهان مورد استفاده قرار گرفته است؛ لیکن آزمایش‌های محدودی در زمینه ارزیابی مدل رشد گیاه AquaCrop در شبیه‌سازی عملکرد کلزا انجام شده است. لذا نتایج به دست آمده در خصوص کاربرد این مدل برای شبیه‌سازی عملکرد محصول گیاه کلزا در شرایط مختلف مدیریت آبیاری محدود می‌باشد. بدین منظور، پژوهش حاضر با هدف ارزیابی دقت مدل AquaCrop در پیش‌بینی عملکرد دانه و زیست‌توده گیاه کلزا، کارایی مصرف آب و شاخص

کیلوگرم در هکتار محاسبه شد و در هر کرت در تاریخ ۲۵ شهریور کاشته شد. کلیه عملیات کاشت، داشت و برداشت به صورت دستی برای کلیه تیمارها انجام شد.

جداول (۲) و (۳) نشان داده شده است. بر اساس توصیه کودی آزمایشگاه کود نیترات به مقدار ۱۵۰ کیلوگرم در هکتار و کود فسفات به مقدار ۵۰ کیلوگرم در هکتار (از منبع سوپر فسفات تریپل) برای آزمایش در نظر گرفته شدند. بذر به مقدار چهار

جدول ۱. میانگین داده‌های هواشناسی ایستگاه هواشناسی اسماعیل‌آباد

ماه	ساعت آفتابی در دو متری	سرعت باد $m.s^{-1}$	بارش	رطوبت هوای متر	دماهی حداقل	دماهی حداکثر
فروردین	۶/۴۸	۲۰	۹۸	۴۹	۴	۱۸
اردیبهشت	۶/۹۶	۲۰	۳۴	۵۳	۱۰	۲۶
خرداد	۸/۸	۱۵	۹	۴۲	۱۴	۲۲
مهر	۸/۲	۱۰	۳۴	۵۴	۹	۲۳
آبان	۷/۱۲	۱۰	۴۴	۵۵	۴	۱۶
آذر	۷	۷	۱۷	۶۳	۰/۵	۹
دی	۵/۷۴	۷	۳۰	۵۸	-۱/۵	۱۰
بهمن	۵/۷	۱۲	۴۵	۶۲	-۴	۶
اسفند	۶/۳۲	۱۰	۴۱	۵۳	۱	۱۵

جدول ۲. برخی خصوصیات فیزیکی و شیمیایی خاک مزرعه مورد آزمایش

عمق	پتاسیم	فسفر	کلسیم	سدیم	منیزیم	pH	ظرفیت پذیردگی دائم زراعی	رطوبت در نقطه رطوبت	جرم مخصوص ظاهری	فراآنی نسبی و اندازه ذرات خاک (درصد)	بافت خاک	رس	سیلت	شن	جرم
۰-۳۰	۰/۲۵	۵/۷	۱/۸	۴	۰/۴۸	۰/۷	۰/۷۴	۰/۲۲	$cm^3.cm^{-3}$	۱/۴۴	۲۸	۳۹	۳۳	لومرسی	۰/۱۳
۳۰-۶۰	۰/۳۲	۶/۱	۲/۱	۵	۰/۵۲	۱/۲	۰/۸۷	۰/۲۴	$cm^3.cm^{-3}$	۱/۴۷	۳۲	۲۹	۳۹	لومرسی	۰/۱۴

جدول ۳. نتایج تعزیزی کیفیت آب آبیاری در مزارع آزمایشی

EC	pH	dS.m ⁻¹	-	کلسیم	منیزیم	سدیم	پتاسیم	کربنات	بیکربنات	کلر	سولفات	سیلت	شن	رس	meq.l ⁻¹
۰/۳۷	۷/۳	۲/۴	۱/۴	۰/۵	۰/۰۱	۰	۲/۹	۰	۰/۰۱	۰/۴	۰/۷	۰/۷	۰/۴	۰/۹	۰/۰۴

کاه به دست آمده در هر تیمار تعیین شد.

برای تعیین میزان آب آبیاری، از رابطه (۱) استفاده شد.

$$I_n = (\theta_{fc} - \theta_{pwp}) . MAD . \rho_b . D_r \quad (رابطه ۱)$$

که در آن: I_n : عمق خالص آب آبیاری (cm)، θ_{fc} و θ_{pwp} :

به ترتیب درصد وزنی رطوبت در ظرفیت زراعی و شرایط فعلی، MAD: حداکثر تخلیه مجاز رطوبت خاک (ضریب سهل الوصول) به صورت اعشار، ρ_b : جرم مخصوص ظاهری (g/cm^3) و D_r : عمق توسعه ریشه گیاه (cm) می‌باشد. مقدار آب آبیاری بر حسب میلی‌متر برای هر تیمار در جدول (۴) نشان داده شده است. رطوبت خاک در هر تیمار با استفاده از نوترون‌متر اندازه‌گیری می‌شود. پس از برداشت محصول و خشک نمودن، نسبت به کوبیدن و جداکردن دانه از کاه اقدام شد و وزن دانه و

AquaCrop مدل رشد گیاهی

در مدل رشد گیاهی AquaCrop همانند بسیاری از مدل‌های گیاهی دیگر، عملکرد با استفاده از تبخیر-تعرق محاسبه شده (رابطه ۲) ولی با تفکیک تبخیر-تعرق (ET) به دو جزء تبخیر از سطح خاک (E) و تعرق از سطح گیاه (Tr)، از مصرف غیر تولیدی آب از طریق تبخیر (رابطه ۳) جلوگیری می‌شود. این فرایند با فرض پوشش تاج گیاه به جای شاخص سطح برگ (LIA) انجام می‌شود (Raes et al., 2009).

$$\left(\frac{Y_x - Y_a}{Y_x} \right) = K_y \left(\frac{ET_x - ET_a}{ET_x} \right) \quad (رابطه ۲)$$

هستند. با تعیین تعرق و تبخیر-تعرق، بیوماس خشک نیز طبق رابطه (۵) برآورد می‌گردد:

$$B = WP^* \left[\frac{Tr_i}{ET_{0,i}} \right] \quad (\text{رابطه } 5)$$

که در این رابطه، Tr مقدار کل تعرق روزانه در طول فصل زراعی، WP^* بهره‌وری آب نرمال شده، ET_o تبخیر-تعرق گیاه مرجع و B عملکرد بیوماس خشک است. مقدار عملکرد وزن دانه (Y) نیز با استفاده از ماده‌ی خشک تولیدشده و شاخص برداشت (HI) طبق رابطه (۶) محاسبه می‌شود:

$$Y = B \times HI \quad (\text{رابطه } 6)$$

$$CC = CC_0 \times e^{CGC \cdot t} \quad (\text{رابطه } 3)$$

که در این معادلات، Y_a و Y_x به ترتیب مقدار بیشینه و واقعی عملکرد محصول، ET_a و ET_x به ترتیب مقدار بیشینه و واقعی تبخیر-تعرق گیاه و K_y ضریب نسبی میزان کاهش محصول نسبت به کاهش تبخیر-تعرق، CC پوشش تاج در مرحله توسعه گیاه (درصد)، CC_0 پوشش تاج اولیه (درصد)، CGC ضریب رشد پوشش تاج (عکس روز) و t زمان (روز) می‌باشد. بدین ترتیب میزان تعرق گیاه بر اساس پوشش تاج از رابطه (۴) محاسبه می‌شود:

$$T_r = K_s \times CC \times K_c \times ET_0 \quad (\text{رابطه } 4)$$

که در آن، K_s و K_c به ترتیب ضرایب تنفس آبی و گیاهی

جدول ۴. مقدار آب آبیاری (بر حسب میلی‌متر) برای تیمارهای مختلف

تیمار	مهر	آبان	دی	آذر	بهمن	اسفند	فروردین	اردیبهشت	خرداد
*FI	۱۵۲	۷۵	۵۷	۲۶	۲۶	۲۵	۱۹۶	۱۳۱	۱۳۲
T1	۱۵۲	۷۵	۵۷	۲۶	۲۶	۶۹	۶۹	۱۳۱	۱۳۲
T2	۱۵۲	۷۵	۵۷	۲۶	۲۶	۶۹	۶۹	۱۳۱	.
T3	۱۵۲	۷۵	۵۷	۲۶	۲۶	۲۵	۶۹	۱۴	.
T4	۱۵۲	۷۵	۵۷	۲۶	۲۶	۲۵	۶۹	۱۳۱	۱۳۲
T5	۱۵۲	۷۵	۵۷	۲۶	۲۶	۲۵	۱۶۹	.	.
T6	۱۵۲	۷۵	۵۷	۲۶	۲۶	۲۵	۱۳۸	.	.
T7	۱۵۲	۷۵	۵۷	۲۶	۲۶	۲۵	۱۹۶	۸۹	۹۸
T8	۱۵۲	۳۷	۲۸	۲۶	۲۶	۲۵	۱۳۸	.	.
T9	۱۰۶	۴۴	۴۴	۲۱	۲۱	۲۵	۱۱۰	۱۳۱	۱۳۲
T10	۱۰۶	۴۴	۴۴	۲۱	۲۱	۲۵	۱۱۰	۱۰۰	.
T11	۱۰۶	۴۴	۴۴	۲۱	۲۱	۲۵	۱۱۰	۱۵	.
T12	۱۵۲	۷۵	۵۷	۲۶	۲۶	۲۵	۱۹۶	۱۳۱	۱۳۲

* منظور آبیاری کامل است.

حساسیت متوسط، $Sc < 2$ حساسیت پایین طبقه‌بندی شد (Geerts and Raes., 2009).

داده‌های ورودی مدل AquaCrop در چهار گروه داده‌های اقلیمی، گیاهی، خاک و مدیریت مزرعه تقسیم‌بندی می‌شوند. داده‌های اقلیمی شامل حداکثر و حداقل دمای روزانه، بارندگی، تبخیر-تعرق گیاه مرجع (ET_o) و میانگین غلظت CO_2 سالیانه Allen et al., (2009). تبخیر-تعرق از معادله فانو-پنمن-مانتیث (Allen et al., 1998) و توسط نرم‌افزار ET-calculator تعیین شد و خروجی آن به مدل معرفی گردید. غلظت CO_2 نیز بر اساس مقدار پیش‌فرض که در رصدخانه هاوایی اندازه‌گیری شده است، به مدل معرفی گردید. داده‌های خاک شامل هدایت هیدرولیکی اشباع، بافت خاک و رطوبت حجمی خاک در نقاط ظرفیت زراعی و پژمردگی دائم بر اساس آزمایش خاک (جدول ۲)

تحلیل حساسیت و واسنجی مدل جهت تحلیل حساسیت این مدل از رابطه (۷) استفاده شد (Geerts and Raes., 2009)

$$Sc = \left| \frac{P_m - P_b}{P_b} \right| \times 100 \quad (\text{رابطه } 7)$$

که در این رابطه، Sc ضریب حساسیت بدون بعد، P_m مقدار برآورده شده پارامتر مورد نظر بر اساس داده‌های ورودی تعديل شده و P_b مقدار برآورده پارامتر مورد نظر بر اساس داده ورودی پایه می‌باشد. برای تحلیل حساسیت مدل به هر پارامتر، در هر مرحله یکی از عوامل ورودی مدل به مقدار ۲۵ درصد تغییر داده می‌شد و بقیه عوامل ثابت نگهداشته می‌شدند (گیرتس و همکاران، ۲۰۰۹). در هر مرحله مقدار ضریب حساسیت در سه کلاس، $Sc > 15$ حساسیت بالا، $15 > Sc > 10$ حساسیت متوسط و $Sc < 10$ حساسیت پایین طبقه‌بندی شد.

نzedیکتر باشد بهتر است. مقادیر کمتر از ۰/۱ برای آماره NRMSE نشان دهنده دقت عالی مدل است. همچنین مقادیر این آماره در بازه‌های ۰/۱-۰/۲، ۰/۲-۰/۳ و بیشتر از ۰/۳ به ترتیب نشان دهنده دقت خوب، متوسط و ضعیف است. مقدار مثبت آماره MBE نشان دهنده این است که مدل رشد گیاهی AquaCrop مقدار پارامتر مورد نظر را بیشتر از مقدار واقعی برآورد کرده است و مقادیر منفی بیانگر این است که مدل در برآورد پارامتر مورد نظر عدد کوچکتری به دست داده است. مقادیر آماره‌های EF و d نشان دهنده صحت برآذش داده‌ها می‌باشد و از مقدار منفی بی‌نهایت در بدترین حالت تا یک در زمان برآذش کامل داده‌ها متغیر است. مقدار R^2 از صفر تا یک تعییر می‌کند و هر چه به یک نzedیکتر باشد نشان دهنده برآذش بهتر داده‌ها می‌باشد.

نتایج و بحث

نتایج آنالیز حساسیت نشان داد که مدل رشد گیاهی AquaCrop نسبت به تعییرات عوامل رطوبت اشباع، دمای حداقل، عمق مؤثر ریشه، مدت زمان کاشت تا جوانه‌زنی، مدت زمان کاشت تا دوره پیری و حد آستانه بالای دما حساسیت کمی دارد (جدول ۵). همچنین این مدل نسبت به رطوبت در نقاط ظرفیت زراعی و پژمردگی دائم، دمای حداقل، بارندگی، مدت زمان کاشت تا بیشینه رشد کانونی و مدت زمان کاشت تا برداشت محصول حساسیت متوسط داشت. بر اساس نتایج به دست آمده، این مدل نسبت به پارامتر ضریب گیاهی برای تعرق^۱ (K_{Ctr}) حساسیت بالا داشت. نتایج مطالعات AquaCrop (2015) Mohammadi *et al.*, نسبت به عوامل دمای حداقل حساسیت کم و نسبت به تعییرات دمای حداقل، حساسیت متوسط داشت که نتایج این تحقیق با نتایج Mohammadi *et al.*, (2015) مطابقت داشت. همچنین Salemi *et al.*, (2015) Mohammadi *et al.*, و گزارش‌های (2011) Zeleke *et al.*, (2011) Mousavizadeh *et al.*, نشان داد که پارامتر ضریب گیاهی برای تعرق نسبت به سایر عوامل ورودی مدل AquaCrop حساسیت بیشتری داشت که نتایج به دست آمده در این تحقیق نیز با این گزارش‌ها همخوانی دارد.

به منظور اجرای مدل رشد گیاهی AquaCrop، داده‌های گیاهی اندازه‌گیری شده به همراه سایر عوامل به دست آمده وارد مدل شدند. برخی از عوامل رشد گیاهی نیز بر اساس نتایج سایر محققان از جمله Zeleke *et al.*, (2011) و Mousavizadeh *et al.*,

تعیین و به مدل معرفی شدند. داده‌های مدیریت مزرعه نیز شامل: (الف) مدیریت مزرعه و حاصلخیزی و (ب) آبیاری بود که مدیریت مزرعه بدون محدودیت در نظر گرفته و به مدل معرفی شد. آبیاری نیز بر اساس تیمارهای مورد نظر به مدل به عنوان ورودی مدل فرض گردید. مدل AquaCrop از پارامترهای گیاهی مختلفی برای شبیه‌سازی استفاده می‌کند. چون اندازه‌گیری این پارامترها در آزمایش سخت یا غیرقابل انجام است، نیاز است تا واسنجی شوند (Raes *et al.*, 2009; Steduto *et al.*, 2009). بر این اساس، در این مطالعه داده‌های اقلیمی، خاک و مدیریت مزرعه بر اساس داده‌های آزمایش و داده‌های گیاهی بر اساس واسنجی به مدل معرفی شدند.

ارزیابی مدل

به منظور ارزیابی دقت مدل رشد گیاهی AquaCrop، از آماره‌های جذر میانگین مربعات خطأ (RMSE)، جذر میانگین مربعات نرمال شده (NRMSE)، میانگین خطای اریب (MBE)، کارایی مدل (EF)، شاخص توافق (d) و ضریب تبیین (R^2) استفاده شد. این آماره‌ها به ترتیب در روابط (۸) تا (۱۳) نشان داده شده‌اند (Ahmadedee *et al.*, 2016).

$$RMSE = \sqrt{\frac{\sum_{i=1}^n (P_i - O_i)^2}{n}} \quad (رابطه ۸)$$

$$NRMSE = \sqrt{\frac{\sum_{i=1}^n (P_i - O_i)^2}{\bar{O}_i}} \quad (رابطه ۹)$$

$$MBE = \frac{\sum_{i=1}^n (P_i - O_i)}{n} \quad (رابطه ۱۰)$$

$$EF = 1 - \frac{\sum_{i=1}^n (P_i - O_i)^2}{\sum_{i=1}^n (O_i - \bar{O})^2} \quad (رابطه ۱۱)$$

$$d = 1 - \frac{\sum_{i=1}^n (P_i - O_i)^2}{\sum_{i=1}^n (|P_i| + |O_i|)^2} \quad (رابطه ۱۲)$$

$$R^2 = \frac{\left(\sum_{i=1}^n (P_i - \bar{P})(O_i - \bar{O}) \right)^2}{\sum_{i=1}^n (P_i - \bar{P})^2 \sum_{i=1}^n (O_i - \bar{O})^2} \quad (رابطه ۱۳)$$

در معادله‌های فوق P_i مقدار شبیه‌سازی شده، O_i مقدار اندازه‌گیری شده، \bar{P} میانگین مقادیر شبیه‌سازی شده، \bar{O} میانگین مقادیر اندازه‌گیری شده و n برابر تعداد داده‌ها می‌باشد. مقدار آماره RMSE همواره مثبت بوده و هر چه به صفر

سال اول آزمایش و بر اساس میزان عملکرد محصول، واسنجی al., (2016) به صورت پیش‌فرض به مدل معروفی شده‌اند. برخی از عوامل رشد گیاهی نیاز به واسنجی داشت که بر اساس نتایج این داده‌ها انجام شد (جدول ۶).

جدول ۵. ضریب حساسیت برخی عوامل ورودی مدل رشد گیاهی **AquaCrop** برای شبیه‌سازی عملکرد کلزا

حساسیت	درجه	مقدار Sc در حالت	مقدار Sc در حالت	پارامتر
		-٪ ۲۵	+٪ ۲۵	
متوسط	متوسط	۷/۱	۱۲/۹	رطوبت در ظرفیت زراعی
متوسط	متوسط	۱۴/۲	۱۲/۵	رطوبت در نقطه پژمردگی
کم	کم	۰/۳	۰/۸	رطوبت اشباع
کم	کم	۰/۹	۰/۱	دماهی حداقل
متوسط	متوسط	۲/۶	۵/۵	دماهی حداکثر
متوسط	بالا	۹/۲	۳/۴	بارندگی
	بالا	۱۷/۶	۲۱/۳	ضریب گیاهی برای تعرق
کم	کم	۰/۸	۱/۷	عمق مؤثر ریشه
کم	کم	۰/۹	۱/۱	مدت زمان کاشت تا جوانه‌زنی
متوسط	متوسط	۸/۱	۲/۴	مدت زمان کاشت تا بیشینه رشد کانوپی
متوسط	کم	۳/۵	۸/۹	مدت زمان کاشت تا برداشت محصول
کم	کم	۰/۸	۰/۴	مدت زمان کاشت تا دوره پیری
	کم	۱/۹	۱/۴	حد آستانه بالای دما

جدول ۶. مقادیر عوامل گیاهی مورد استفاده در مدل **AquaCrop**

توضیح	واحد	مقدار	توضیح پارامتر
دماهی پایه	درجه سانتی گراد	صفر	دماهی پایه
دماهی بالا	درجه سانتی گراد	۳۰	دماهی بالا
تراکم کشت	گیاه در هکتار	۷۵۰۰۰	تراکم کشت
ضریب رشد کانوپی	درصد روز	۸/۵	ضریب رشد کانوپی
پوشش گیاهی هر نهال هنگام جوانه‌زنی	سانتی متر مریع	۵	پوشش گیاهی هر نهال هنگام جوانه‌زنی
عمق مؤثر ریشه	متر	۰/۳	عمق مؤثر ریشه
مدت زمان کاشت تا جوانه‌زنی	روز	۱۰	مدت زمان کاشت تا جوانه‌زنی
مدت زمان کاشت تا بیشینه رشد کانوپی	روز	۹۵	مدت زمان کاشت تا بیشینه رشد کانوپی
مدت زمان کاشت تا دوره پیری	روز	۱۳۵	مدت زمان کاشت تا دوره پیری
مدت زمان کاشت تا برداشت محصول	روز	۱۶۰	مدت زمان کاشت تا برداشت محصول
بهره‌وری آب نرمال شده	گرم بر مترمریع	۱۴/۳	بهره‌وری آب نرمال شده
پوشش گیاهی اولیه	درصد	۹/۲	پوشش گیاهی اولیه
بیشینه رشد کانوپی	درصد	۸۱	بیشینه رشد کانوپی
حد بالای ضریب تخلیه آب خاک برای توسعه گیاه	-	۰/۱۵	حد بالای ضریب تخلیه آب خاک برای توسعه گیاه
حد پایین ضریب تخلیه آب برای توسعه گیاه	-	۰/۰۵	حد پایین ضریب تخلیه آب برای توسعه گیاه
ضریب رشد پوشش	درصد روز	۹/۱	ضریب رشد پوشش
ضریب کاهش پوشش	درصد روز	۵	ضریب کاهش پوشش
حداکثر ضریب گیاهی برای تعرق	درصد بر روز	۱/۱	حداکثر ضریب گیاهی برای تعرق
ضریب شکل برای ضریب تنش آبی جهت بسته شدن روزنه‌ها	-	۵	ضریب شکل برای ضریب تنش آبی جهت بسته شدن روزنه‌ها
ضریب شکل برای ضریب تنش آبی برای توسعه پوشش تاجی گیاه	-	۰/۱۶	ضریب شکل برای ضریب تنش آبی برای توسعه پوشش تاجی گیاه
ضریب شکل برای ضریب تنش آبی برای مرحله پیری	-	۰/۱۶	ضریب شکل برای ضریب تنش آبی برای مرحله پیری

کم‌آبیاری در دوره گلدهی کلزا بیشترین اثر را بر کاهش عملکرد آین گیاه دارد (Tesfamriam *et al.*, 2010) نتایج به دست آمده

بیشترین و کمترین عملکرد کلزا به ترتیب در تیمارهای آبیاری کامل (FI) و T3 به دست آمد. با توجه به اینکه

در شکل (۲) نشان داده شده است. بیشترین عملکرد در تیمار آبیاری کامل (FI) و کمترین عملکرد در تیمار T3 مشاهده شد. تیمارهای T1، T10، T11 و T5 نیز مقادیر زیست‌توده پایینی داشتند به طوری که نسبت به FI به ترتیب کاهش ۳۸/۲، ۳۲/۶، ۳۴/۲ و ۳۳/۴ درصدی نشان دادند. مقادیر شبیه‌سازی زیست‌توده کلزا تقریباً مشابه مقادیر اندازه‌گیری بود و بیشترین و کمترین خطای برآورده به ترتیب در تیمارهای T1 (۱۰ درصد) و T7 (۲ درصد) مشاهده شد. مدل AquaCrop در برآورده زیست‌توده تیمارهای FI، T7 و T11 دچار خطای کم برآورده شد به طوری که این خطای برای تیمارهای FI و T11 به ترتیب برابر با ۳/۵ و ۵/۸ درصد بود. این مدل در پیش‌بینی زیست‌توده سایر تیمارها دچار خطای بیش برآورده بود. این خطای مشابه خطای مشاهده شده در برآورده عملکرد کلزا بود و توسط بسیاری از محققان از جمله Ahmadi *et al.*, (2009) Heng *et al.*, (2009) Hisao *et al.*, (2009) (2015) و (2015) نیز گزارش شده است. علت کاهش خطای این مدل در تیمار T7 نزدیکی اعمال تنفس به دوره‌های پایانی رشد این محصول است که سبب شده است تا در شرایط واقعی نیز کاهش چشمگیری در تولید زیست‌توده این گیاه رخ ندهد. لیکن اعمال سایر تنفس‌ها در دوره‌های مختلف به خصوص گلدهی، سبب شده است تا شرایط رشد برای این محصول از آنچه در این مدل فرض شده است، دور شود. البته با توجه به جدول (۱)، مصادف شدن تنفس‌های آخر دوره رشد این گیاه با بارش‌های بهاره نیز سبب تخفیف اثرات تنفس آبی بر عملکرد و زیست‌توده شده است. با این وجود، گرچه این مدل در شرایط تنفس آبی شدید از دقت کمتری برخوردار است (Heng *et al.*, 2009; Katerji *et al.*, 2013 Katerji *et al.*, 2009; Hasanli *et al.*, 2014 Ziaii *et al.*, 2013) ولی نتایج به دست آمده از این تحقیق نشان داد که خطای بیش برآورده برای اکثر تیمارها کمتر از ۵ درصد است؛ بنابراین می‌توان به نتایج آن اعتماد نمود.

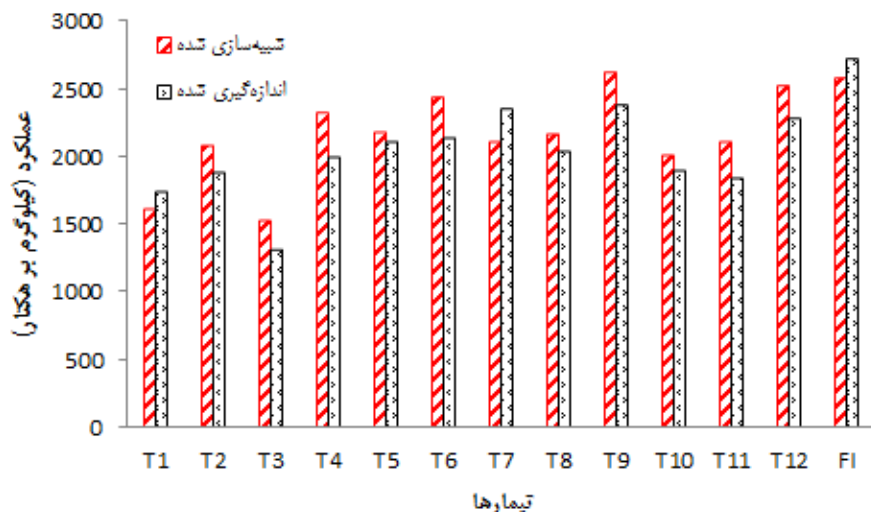
کارایی مصرف آب برای کلزا بین ۰/۲۶ (T1) و ۰/۴۸ (T11) کیلوگرم بر مترمکعب متغیر بود (شکل ۳). مقادیر شبیه‌سازی شده برای همین پارامتر نیز بین ۰/۲۴ (T1) و ۰/۵۵ (T11) کیلوگرم بر مترمکعب متغیر بود. کمترین خطای پیش‌بینی این پارامتر در تیمار T5 مشاهده شد به طوری که تنها یک درصد با میزان واقعی اختلاف داشت؛ گرچه نتایج شبیه‌سازی کارایی مصرف آب برای تیمارهای T1، T10 و FI نیز تنها دو درصد با مقدار واقعی اختلاف داشت. بیشترین اختلاف بین مقادیر واقعی و شبیه‌سازی شده در تیمار T11 و به میزان ۷ درصد مشاهده شد. علی‌رغم اینکه این مدل کارایی مصرف آب در تولید روغن را شبیه‌سازی نمی‌کند، نتایج حاصل از آن در

نیز منطقی به نظر می‌رسد. به همین ترتیب تیمارهای T1، T10 و T11 نیز که در دوره گلدهی تنفس بیشتری به گیاه وارد شده است عملکرد نیز کاهش داشت. هم‌چنین در تیمارهای T5 و T7 که در این دوره تنفسی اعمال نشده، عملکرد به نسبت سایر تیمارها کاهش کمتری داشت. مقدار عملکرد شبیه‌سازی گیاه کلزا در شکل (۱) نشان داده شده است. نتایج به دست آمده از این شبیه‌سازی نشان داد که کمترین خطای شبیه‌سازی بین مقادیر واقعی و شبیه‌سازی شده مربوط به تیمارهای T1، T5 و T10 است. میزان خطای شبیه‌سازی برای این تیمارها به ترتیب برابر با ۷/۸، ۳/۵ و ۵/۹ درصد بود. بیشترین خطای شبیه‌سازی نیز به تیمارهای T6، T4 و T11 به ترتیب با ۱۶، ۱۳/۹ و ۱۴/۵ درصد اختصاص داشت. این نتایج نشان داد که این مدل دقت قابل قبولی در شبیه‌سازی عملکرد کلزا داشت. نتایج بدست آمده با مطالعات Zeleke *et al.*, (2016) Mousavizadeh *et al.*, (2016) (2011) مطابقت داشت. این محققان نیز با شبیه‌سازی عملکرد کلزا با مدل AquaCrop نشان دادند که این مدل دقت قابل قبولی دارد. مدل AquaCrop در شبیه‌سازی عملکرد تیمارهای FI، T1 و T7 دچار کم برآورده شد ولی نتایج به دست آمده از آن برای سایر تیمارها حاکی از بیش برآورده آن داشت. نیز Zeleke *et al.*, (2016) Mousavizadeh *et al.*, (2011) برای شبیه‌سازی عملکرد کلزا با AquaCrop نتایج مشابه گزارش کردند. سایر محققان از جمله Heng *et al.*, (2009) Katerji *et al.*, (2009) (2015) Hasanli *et al.*, (2014) Ziaii *et al.*, (2013) با کاربرد این مدل در شبیه‌سازی محصولات مختلف گزارش کردند که این مدل دچار خطای بیش برآورده بود. از جمله دلایل بیش برآورده این مدل می‌توان به قلیائیت محیط کشت یا آب آبیاری (جداول ۲ و ۳) اشاره کرد که توسط Hasanli *et al.*, (2015) ارائه شده است. البته تنفس‌های مختلف در بسیاری از تیمارها و شرایط کشت نامناسب عمدتاً سبب می‌شود تا عملکرد تئوری حاصل نشود. به همین دلیل در بیشتر تحقیقات انجام شده و از جمله تحقیق حاضر، مشاهده شد که عملکرد واقعی کمتر از مقداری است که در این مدل برای شبیه‌سازی تنفس آبی فرض شده است (Mousavizadeh *et al.*, 2016). با وجود دقت مناسب این مدل در پیش‌بینی عملکرد کلزا، مشاهده شد که در شرایط تنفس، دقت مدل عمدتاً کمتر از شرایط بدون تنفس بود. این نتایج با مشاهدات Vatankhah and Ibrahimian, (2015) Mohammadi *et al.*, (2016) Alizadeh *et al.*, (2015) Andarzian *et al.*, (2011) Heng *et al.*, (2010) (2009) و (2009) مطابقت دارد.

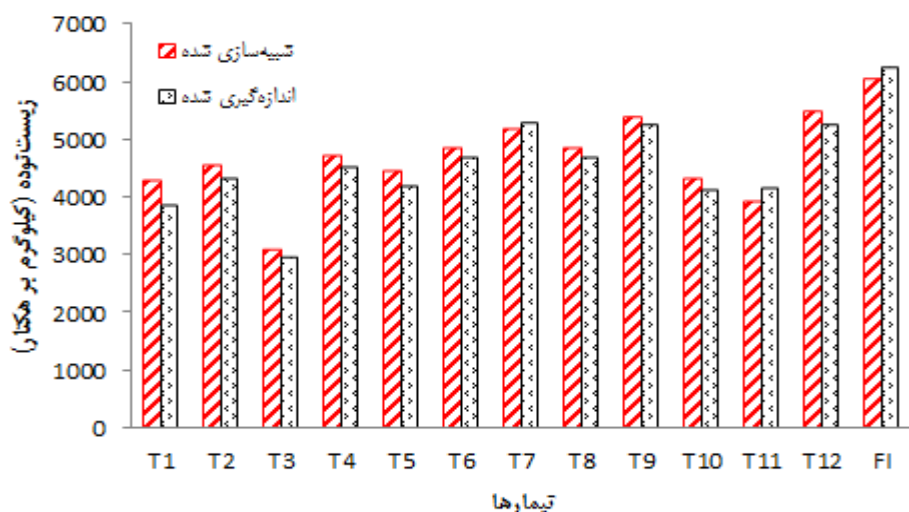
نتایج اندازه‌گیری شده و شبیه‌سازی شده زیست‌توده کلزا

افزایش این شاخص نیز شده است. شاخص برداشت برای گیاه کلزا نیز در شکل (۴) نشان داده شده است.

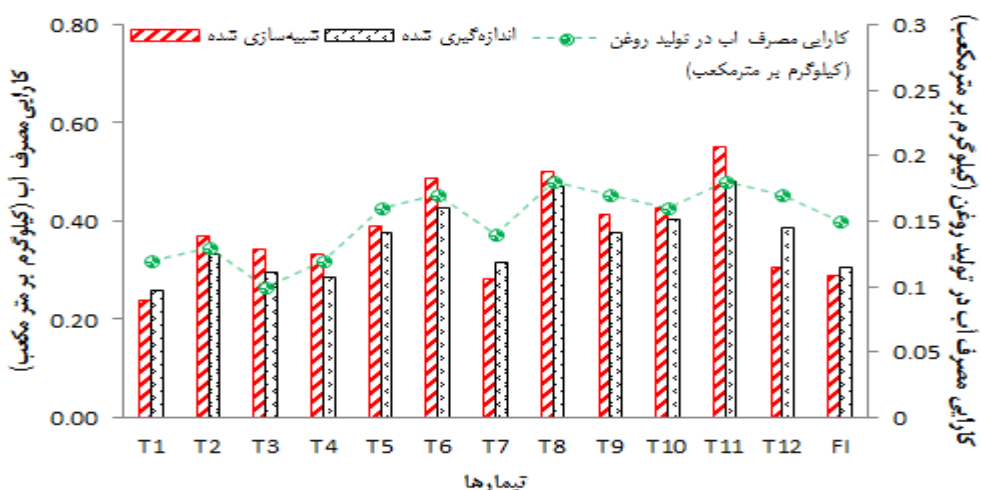
شکل (۳) نشان داده شد. بر اساس این نتایج، مشاهده شد که تقریباً افزایش کارایی مصرف آب در تولید محصول، سبب



شکل ۱. مقادیر شبیه‌سازی شده و اندازه‌گیری شده عملکرد دانه کلزا (FI) نشان دهنده‌ی اعمال کم‌آبیاری در دوره‌های مختلف کشت است.



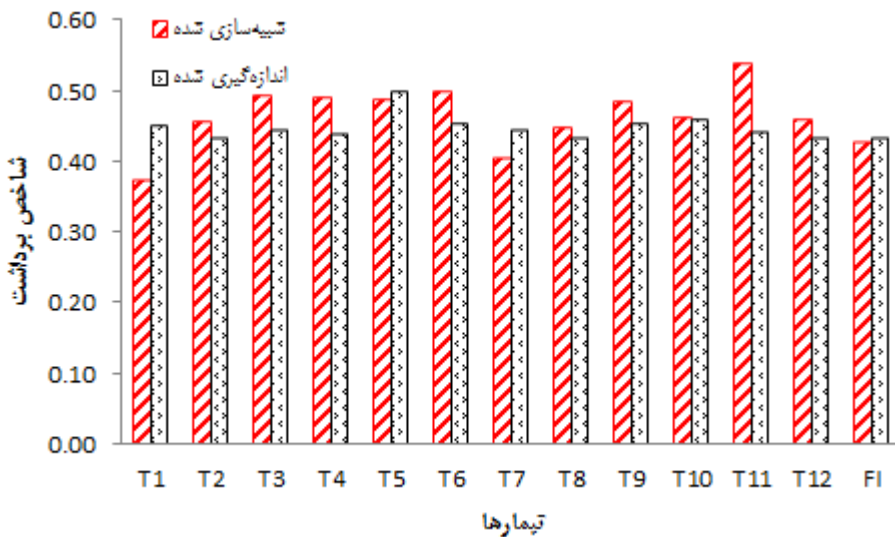
شکل ۲. مقادیر زیست‌توده شبیه‌سازی شده و اندازه‌گیری شده کلزا (FI) نشان دهنده‌ی اعمال کم‌آبیاری در دوره‌های مختلف کشت است.



شکل ۳. میزان کارایی مصرف آب شبیه‌سازی شده و اندازه‌گیری شده برای گیاه کلزا و کارایی مصرف آب در تولید روغن (FI) نشان دهنده‌ی آبیاری کامل و تیمارهای T نشان دهنده‌ی اعمال کم‌آبیاری در دوره‌های مختلف کشت است.

و ۰/۳۸) اختصاص داشت. همچنین بر اساس نتایج به دست آمده مشاهده می‌شود که اختلاف بین مقادیر شبیه‌سازی شده و پیش‌بینی شده برای این پارامتر نیز پایین (حداکثر ۱۰ درصد) و در حد قابل قبول است.

بیشترین و کمترین مقدار شاخص برداشت به ترتیب برابر با ۰/۴۳ و ۰/۵۰ به ترتیب برای تیمارهای T5 و T2 به دست آمد. نتایج شبیه‌سازی این پارامتر نیز نشان داد که بیشترین و کمترین مقادیر به تیمارهای T11 و T1 (به ترتیب برابر با ۰/۵۴



شکل ۴. مقادیر شاخص برداشت شبیه‌سازی شده و اندازه‌گیری شده برای گیاه کلزا (FI) نشان دهنده‌ی آبیاری کامل و تیمارهای T نشان دهنده‌ی اعمال کم‌آبیاری در دوره‌های مختلف کشت است

و RMSE و MBE برای زیست‌توده شبیه‌سازی شده بسیار کمتر از مقادیر گزارش شده توسط Mousavizadeh *et al.*, (2016) و Zeleke *et al.*, (2011) بود. بر اساس مقادیر به دست آمده مشاهده شد که این مدل توانایی خوبی در پیش‌بینی این پارامتر داشته است. نتایج به دست آمده بر اساس آماره‌های مذکور برای عوامل کارایی مصرف آب و شاخص برداشت نیز حاکی از دقت قابل قبول مدل برای شبیه‌سازی این عوامل بود. با تکیه بر آماره‌های EF و d، مشاهده شد که کارایی مدل و شاخص توافق در شبیه‌سازی همه‌ی عوامل مناسب بود. با این وجود کارایی مدل برای عملکرد دانه پایین‌تر از سایر عوامل بود.

در حالت کلی با فرض کلیه تیمارها، می‌توان گفت که نتایج به دست آمده برای شبیه‌سازی عملکرد کلزا با استفاده از مدل AquaCrop قابل قبول می‌باشد. این فرض با تکیه بر نتایج به دست آمده از آماره‌های RMSE و NRMSE و MBE مطابق جدول (۷) می‌باشد. نتایج Mousavizadeh *et al.*, (2016) نشان داد که مقدار RMSE حاصل از شبیه‌سازی عملکرد کلزا با مدل Zeleke *et al.*, (2011) برابر با ۰/۲۶ تن بر هکتار بود. نتایج AquaCrop (2011) مقدار RMSE را برای شبیه‌سازی عملکرد کلزا با این مدل بین ۱/۷۵ تا ۲/۵۸ تن بر هکتار نشان داد. بر این اساس تحقیق حاضر نتایج دقیق‌تری را نشان داد. نتایج آماره‌های

جدول ۷. مقادیر شاخص‌های آماری برای شبیه‌سازی عملکرد، زیست‌توده، کارایی مصرف آب و شاخص برداشت کلزا

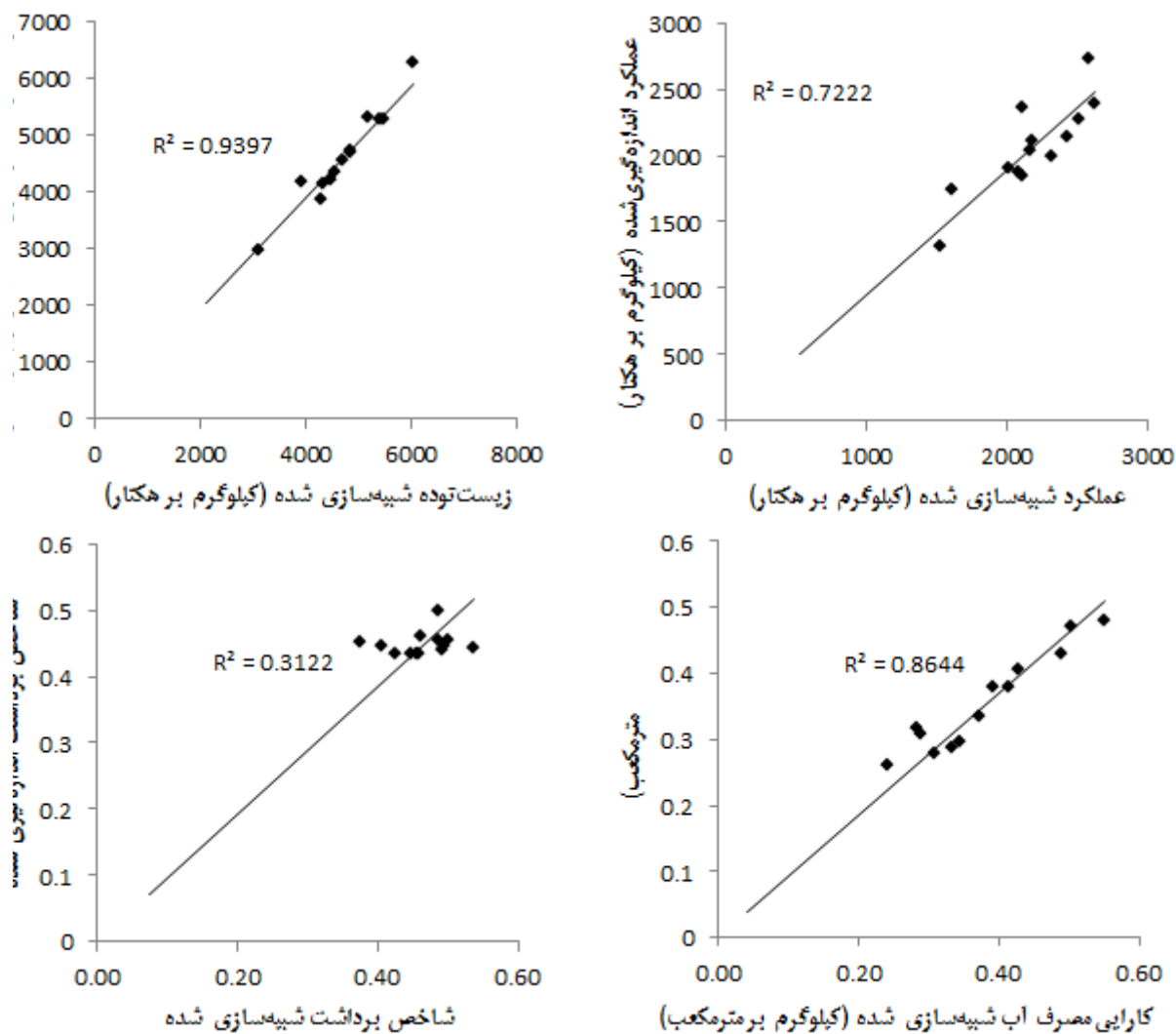
d	EF	MBE (تن بر هکتار)	NRMSE (تن بر هکتار)	RMSE (تن بر هکتار)	پارامتر
۰/۹۹	۰/۵۷	۰/۱۲۱	۰/۱۰	۰/۲۱۶	عملکرد (تن بر هکتار)
۰/۹۸	۰/۹۱	۰/۱۲۰	۰/۰۴	۰/۲۲۳	زیست‌توده (تن بر هکتار)
۰/۹۹	۰/۸۲	۰/۰۲	۰/۱۱	۰/۰۴	کارایی مصرف آب (کیلوگرم بر مترمکعب)
۰/۹۹	۰/۸۵	۰/۰۱	۰/۱۰	۰/۰۴	شاخص برداشت

برای عملکرد کلزا توسط Mousavizadeh *et al.*, (2016) برای با ۰/۹۸-۰/۹۶ بود. مقدار ضریب تبیین گزارش شده برای عملکرد کلزا توسط سایر محققان از جمله Masanganise *et al.*, (2016)

نتایج برآش مقادیر شبیه‌سازی شده و اندازه‌گیری شده نشان داد که ضریب تبیین (R^2) برای همه‌ی عوامل به جز شاخص برداشت قابل قبول بود (شکل ۵). مقادیر گزارش شده

قابل قبولی در پیش‌بینی این پارامتر داشت. نتایج مشابه برای Mohammadi *et al.*, (2015) گزارش شده است. این محققان نیز مقدار R^2 برای شبیه‌سازی عملکرد، زیست‌توده و شاخص برداشت توسط $R^2 = 0.9397$ آماره را برابر شاخص برداشت برابر با 0.49 گزارش کردند.

Hasanli *et al.*, (2013) و (2015) به ترتیب برابر با 0.72 و 0.75 بود. نتایج ضریب تبیین برای شاخص برداشت کلزا نسبت به سایر پارامترها پایین بود و این نشان دهنده عدم وجود رابطه خطی بین شاخص برداشت شبیه‌سازی شده و برداشت شده است. با این وجود دامنه تغییرات شاخص برداشت برابر با 0.17 بود و بر اساس نتایج جدول (۷) مدل AquaCrop دقت



شکل ۵. برآش مقادیر اندازه‌گیری شده و شبیه‌سازی شده با مدل AquaCrop برای عوامل مورد نظر در تیمارهای مورد استفاده

پژمردگی دائم، دمای حداکثر، بارندگی، مدت زمان کاشت تا بیشینه رشد کانوپی و مدت زمان کاشت تا برداشت محصول حساسیت متوسط و نسبت به تغییرات ضریب گیاهی برای تعریق حساسیت بالا داشت. بر اساس نتایج به دست آمده در این تحقیق، این مدل در تنש‌های آبی دچار خطای بیشتری می‌گردد به طوری که در تیمارهای T1، T5 و T10 کمترین میزان خطای برآورده عملکرد (به ترتیب برابر با 0.78 ، 0.59 و 0.55) و در تیمارهای T4، T6 و T11 بیشترین میزان خطای برآورده

نتیجه‌گیری کلی

در این تحقیق با استفاده از داده‌های دو سال زراعی برای گیاه کلزا در دشت قزوین، مدل رشد گیاهی AquaCrop مورد واسنجی و صحبت‌سنگی قرار گرفت. نتایج نشان داد که این مدل نسبت به تغییرات عوامل رطوبت اشباع، دمای حداقل، عمق مؤثر پیش، مدت زمان کاشت تا جوانه‌زنی، مدت زمان کاشت تا دوره پیروی و حد آستانه بالای دما حساسیت کم داشت. این مدل نسبت به تغییرات عوامل رطوبت در نقاط ظرفیت زراعی و

عملکرد و ۰/۲۲۳، ۰/۰۴ و ۰/۱۲۰ تن بر هکتار برای زیست‌توده) می‌توان به نتایج آن اعتماد نمود. با این وجود، به دلیل کمبود منابع در دسترس در خصوص شبیه‌سازی اثرات برنامه‌ریزی‌های مختلف آبیاری بر عملکرد کلزا، پیشنهاد می‌شود تا تحقیقات بیشتری در خصوص صحت‌سنجی این مدل در شرایط دیگر انجام شود.

REFERENCES

- Abedinpour, M., Sarangi, A., Rajput, T. B. S., Singh, M. H., Pathak, H., and Ahmad, T. (2012). Performance evaluation of AquaCrop model for maize crop in a semi-arid environment. *Agricultural Water Management*. 110: 55-66.
- Ahmadee, M., Khashei Siuki, A., and Sayyari, M. H. (2016), Comparison of Efficiency of Different Equations to Estimate the Water Requirement in Saffron (*Crocus sativus L.*) (Case Study: Birjand Plain, Iran), *Agroecology*, 8(4), 505-520. (In Farsi)
- Ahmadi, S.H., Mosallaeepour, E., Kamgar-Haghghi, A.K., and Sepaskhah, A.R., (2015). Modeling maize yield and soil water content with AquaCrop under full and deficit irrigation managements. *Water Resource Management*. 29, 2837-2853.
- Alizadeh, H. A., Nazari, B., Parsinejad, M., Ramezani, H., Eetedali, H., and Janbaz, H. (2011), Evaluation of AquaCrop Model on Wheat Deficit Irrigation in Karaj area, *Iranian Journal of Irrigation and Drainage*, 4, 273-283. (In Farsi)
- Allen, R. G., Pereira, L. S., Raes, D., and Smith, M. (1998). Crop evapotranspiration. Guidelines for computing crop water requirements. Rome: FAO.
- Andarzian, B., Bannayan, M., Steduto, P., Mazraeh, H., Barati, M.E., and Rahnama, A., (2011). Validation and testing of the AquaCrop model under full and deficit irrigated wheat production in Iran. *Agr. Water Manage.* 100, 1-8.
- Andarziana, B., Bannayanb, M., Stedutoc, P., Mazraeha, H., Barati, M.E., Barati, M.A., and Rahnama, A. (2011). Validation and testing of the AquaCrop model under full and deficit irrigated wheat production in Iran. *Agricultural Water Management*, 100, 1-8.
- Araya, A., Solomon, H., Kiros, M.H., Afewerk, K., and Taddese, D., (2010). Test of AquaCrop model in simulating biomass and yield of water deficient and irrigated barley (*Hordeum vulgare*). *Agricultural Water Manage.* 97, 1838-1846.
- Arvaneh, H., Abbasi, F., and Eslami, H. (2011), Validation and testing of AquaCrop under farmers management, 1st National Conference on Agrometeorology and Agricultural Water Management.
- Blum, F.A. (2009). Effective use of water (EUW) and not water-use efficiency (WUE) is the target of crop yield improvement under drought stress. *Field Crops Research*. 112, 119-123.
- Boogaard, H.L., Van Diepen, C.A., Rotter, R.P., Cabrera, J.M.C.A., and Van Laar, H.H. (1998).
- عملکرد (به ترتیب با ۰/۱۰، ۰/۱۶ و ۰/۱۴ درصد) مشاهده شد. براساس نتایج شبیه‌سازی شده عملکرد و زیست‌توده کلزا، مشاهده شد که گرچه این مدل در اکثر تیمارها دچار خطای بیش‌آور دی بود؛ لیکن بر اساس نتایج آماره‌های RMSE و NRMSE (به ترتیب با مقادیر ۰/۲۱۶، ۰/۱۰ و ۰/۱۲۱ تن بر هکتار برای WOFOST 7.1; user's guide for the WOFOST 7.1 crop growth simulation model and WOFOST Control Center 1.5 (No. 52). SC-DLO.
- Debaek, P., and Aboudrare, A. (2004). Adaptions of crop manage to water-limited environments. *European Journal of Agronomy*. 21, 433-446.
- Farahani, H.J., Izzi, G., and Oweis, T.Y., (2009). Parameterization and evaluation of the AquaCrop model for full and deficit irrigated cotton. *Agron.J.* 101, 469-476.
- Farre, F., and Faci, J.M., (2009). Deficit irrigation in maize for reducing agricultural water use in a Mediterranean environment. *Agricultural Water Management*. 96, 384-394.
- Fereres, E.M., and Soriano, A. (2007). Deficit irrigation for reducing agricultural water use: integrated approaches to sustain and improve plant production under drought stress special issue. *Journal of Botany*. 58, 147–159.
- Garcia-Vila, M., Fereres, E., Mateos, L., Orgaz, F., and Steduto, P., (2009). Deficit Irrigation Optimization of Cotton with AquaCrop. *Agron. J.* 101, 477-487.
- Geerts, S., and Raes, D. (2009). Deficit irrigation as on-farm strategy to maximize crop water productivity in dry areas. *Agricultural Water Management*. 96, 1275-1284.
- Hasanli, M., Afrasiab, P., and Ebrahimian, H. (2015), Evaluation of AquaCrop vs SALTMD Models to Estimate Crop Yield and Soil Salinity, *Iranian Journal of Soil and Water Research*, 46(3), 487-498. (In Farsi)
- Heidarinia, M., Naseri, A., Broumandnasab, S., and Azari, A. (2012). Assessing AquaCrop model application in irrigation management in north of Khosetan_Safiyabad. (CD) Proceeding of the 1st national water management in farm conference. May 30-31. Iran.(In Farsi)
- Heng, L.k., Hsiao, T.C., Evett, S., Howell, T., and Steduto, P. (2009). Validating the FAO AquaCrop model for Irrigated and Water Deficient field maize, *Agronomy Journal*. 101(3), 488-498.
- Hsiao, T.C., Heng, L., Steduto, P., Rojas-Lara, B., Raes, D., and Fereres, E., (2009). AquaCrop-The FAO crop model to simulate yield response to water: III. Parameterization and testing for maize. *Agron.J.* 101(3), 448-459.
- Katerji, N., Campi, P., and Mastrorilli, M. (2013). Productivity, evapotranspiration, and water use efficiency of corn and tomato crops simulated by AquaCrop under contrasting water stress

- conditions in the Mediterranean region. *Agricultural Water Management.* 130, 14-26.
- Khoshravesh, M., Mostafazadeh-Fard, B., Heidarpour, M., and Kiani, A.R., (2013). AquaCrop model simulation under different irrigation water and nitrogen strategies. *Water Sci.Technol.* 67, 232-238.
- Masanganise J., Basira, K., Chipindu, B., Mashonjowa, E., and Mhizha, T. (2013). Testing the utility of a crop growth simulation model in predicting maize yield in a changing climate in Zimbabwe. *International Journal of Agricultural and Food Science.* 3(4), 157-163.
- Mohammadi, M., Davari, K., Ghahraman, B., Ansari, H., Haghverdi, A. 2015, Calibration and Validation of AquaCrop Model for Simulation of Spring Wheat Yield under Simultaneous Salinity and Water Stress, *Journal of Water Research in Agriculture,* 29(3), 277-295. (In Farsi)
- Mousavizadeh, S. F., Honar, T., and Ahmadi, S. H., (2016). Assessment of the AquaCrop model for simulating canola under different irrigation management in a semiarid area, *International Journal of Plant Production,* 10(4), 1735-6814.
- Raes, D., Steduto, P., Hsiao, T.C., and Fereres, E. (2009). AquaCrop—the FAO crop model to simulate yield response to water II. Main algorithms and software description. *Agronomy Journal,* 101, 438–447.
- Raes, D., Steduto, P., Hsiao, T.C., and Freres, E. (2012). Reference manual AquaCrop, FAO, land and water division, Rome Italy.
- Rasooli, S. J., Nasiri Mahalati, M., Naseri Yazdi, M. T., and Ghorbani, R. (2016), Determining Prediction Model of the Canola) Brassica napus L.(Yields Based on Agrometeorological and Climatic Parameters in Mashhad Region of Iran, *Journal of Water and Soil,* 30(4), 1322-1333. (In Farsi).
- Reddy T.Y., Reddi G.H.S. 2003. Principles of Agronomy. Kalyani Publishers, Ludhiana, pp.48-77.
- Salemi, H., Mohd Soom, M.A., Lee, T.S., Mousavi, S.F., Ganji, A., and KamilYusoff, M. (2011). Application of AquaCrop model in deficit irrigation management of Winter wheat in arid region. *African Journal of Agricultural Research,* 610, 2204-2215.
- Steduto, P., Hsiao, T.C., Raes, D., and Fereres, E. (2009). AquaCrop—the FAO crop model to simulate yield response to water I. concepts and underlying principles. *Agronomy Journal.* 101, 426–437.
- Stricevic, R., Cosic, M., Djurovic, N., Pejic, B., and Maksimovic, L. (2011). Assessment of the FAO AquaCrop model in the simulation of rainfed and supplementally irrigated maize sugar beet and sunflower. *Agricultural Water Management.* 98, 1615-1621.
- Tesfamriam, E.H., J.G. Annandale, and J.M. Steyn. (2010). Water stress effects on winter canola growth and yield. *Agron. J.* 102, 658–666.
- Van Dam, J.C., Huygen, J., Wesseling, J.G., Feddes, R.A., Kabat, P., van Walsum, P.E.V., Groenendijk, P. and van Diepen, C.A. (1997). Theory of SWAP Version 2.0, Report #71. Department Water Resources, Wageningen Agricultural University, 167 pp.
- Vatankhah, I., and Ibrahimian, H., (2016), Assessment of AquaCrop model for simulating forage maize yield along the furrow, *Iranian Journal of Soil and Water Research,* 47(3), 495-504. (In Farsi)
- Zeleke, K., Luckett, D., and Cowley, R., (2011). Calibration and Testing of the FAO AquaCrop Model for Canola. *Agron.J.* 103, 1610-1618.
- Ziaii, Gh., Babazadeh, H., Abbasi, F., and Kaveh, F. (2014) Evaluation of the AquaCrop and CERES-Maize models in assessment of soil water balance and maize yield. *Iranian Journal of Soil and Water Research,* 45(4), 435-445 (In Farsi).
- Zomorodian A., Kavoosi Z., and Momenzadeh L. (2010). Determination of EMC isotherms and appropriate Mathematical models for canola. *Food and Bioproducts Processing.* 89(4), 407-413.